

**ИССЛЕДОВАНИЕ НА УСТАНОВКЕ "АНОМАЛОН"  
ВТОРИЧНЫХ ЯДЕР С ВНУТРЕННЕЙ МИШЕНИ  
СИНХРОФАЗОТРОНА**

И.А.Голутвин, С.Н.Доля, В.Е.Жильцов, А.В.Зарубин,  
В.Н.Лысяков, В.В.Перелыгин, Д.Позе, В.А.Свиридов,  
А.И.Семенюшкин, Д.А.Смолин, В.В.Тихомиров, А.Г.Федунов,  
В.С.Хабаров, В.И.Цовбун, Ю.А.Яцуненко

Представлены результаты экспериментов по выводу с внутренней мишени синхрофазотрона по тракту канала медленного вывода фрагментов родительского ядра фтора ( $^{19}\text{F}$ )  $^{12}\text{B}$ ,  $^{14}\text{C}$ ,  $^{16}\text{N}$  и др., а также даны оценки верхней границы выхода фрагментов с дробным зарядом ( $Z=7,7$ ) и сечения перезарядки  $^{19}\text{F} \rightarrow ^{19}\text{O}$ . Измерены характеристики распределения фрагментов по импульсам. Импульс первичных ядер  $^{19}\text{F}$  равен 4 ГэВ/нукл.·с.

Работа выполнена в Отделе новых методов ускорения ОИЯИ.

**Study of Secondary Nuclei Produced  
on the Synchrophasotron Internal Target**

I.A.Golutvin et al.

The results of experiments on a slow extraction of  $^{12}\text{B}$ ,  $^{14}\text{C}$ ,  $^{16}\text{N}$  a.o. fragments of parental nucleus of fluorine ( $^{19}\text{F}$ ) from the synchrophasotron inner target along the channel are presented. The upper limit of fragment yield with fractional charge ( $Z=7.7$ ) and  $^{19}\text{F} \rightarrow ^{19}\text{O}$  charge exchange cross sections are estimated. The momentum distributions of fragments are presented.  $^{19}\text{F}$  primary nucleus momentum is 4 GeV/nucl.·c.

The investigation has been performed at the Department of New Acceleration Methods, JINR.

*Введение*

При релятивистских энергиях процесс фрагментации ядер имеет особенность, позволяющую формировать пучки вторичных /в том числе радиоактивных, в естественных условиях не существующих/ ядер: фрагменты ядра-снаряда сосредоточены в узком угловом конусе в направлении импульса родительского ядра и имеют скорость, близкую к его скорости.

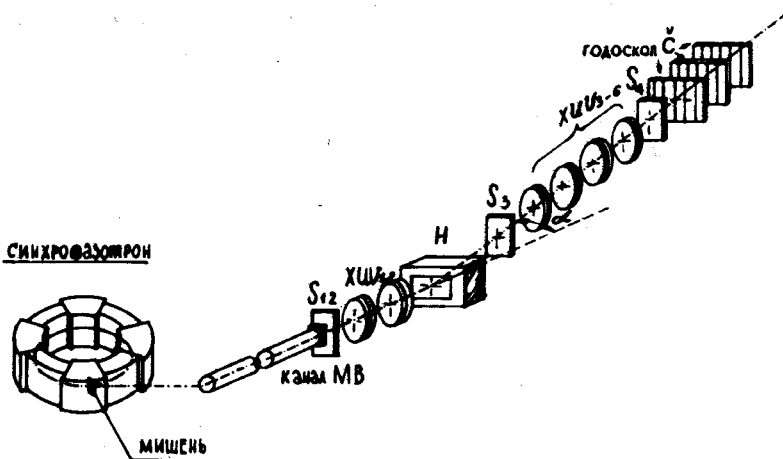


Рис. 1. Схема эксперимента. МВ – канал медленного вывода, S и C – сцинтилляционные и черенковские счетчики, ХЧА – 3-координатные пропорциональные камеры, H – магнит.

Вторичные пучки открывают уникальную возможность исследования свойств нестабильных /в том числе экзотических/ ядер/сечения взаимодействия, электрические и магнитные моменты, спектры переходов и др./. Первые результаты по формированию вторичных пучков изотопов He, Li, Be и C с помощью ускоренных ядер  $^{11}\text{B}$  и  $^{20}\text{Ne}$ , взаимодействующих с бериллиевой мишенью, и экспериментов с ними были сообщены на конференции в Висбю<sup>/1,2/</sup>.

В данной работе представлены результаты эксперимента по выводу с внутренней мишени синхрофазотрона по тракту канала медленного вывода фрагментов родительского ядра фтора ( $^{19}\text{F}$ )  $^{12}\text{B}$ ,  $^{14}\text{C}$ ,  $^{16}\text{N}$  и др., а также даны оценки верхней границы выхода фрагментов с дробным зарядом / $Z=7,7$ / и сечения перезарядки  $^{19}\text{F} \rightarrow ^{19}\text{O}$ . Измерены характеристики распределения фрагментов по импульсам. Импульс первичных ядер  $^{19}\text{F} \sim 4$  ГэВ/с·нукл.

### *Схема эксперимента*

Эксперимент выполнен на синхрофазотроне ЛВЭ ОИЯИ. Режимы работы ускорителя, обеспечивающие вывод на экспериментальную установку вторичных ядер, рассчитаны и приведены в<sup>/3/</sup>.

Схема эксперимента представлена на рис.1. Мишень из тонкого /~ 10 мкм/ алюминизированного лавсана с размером по радиусу ускорителя ~ 5 мм в конце цикла ускорения ядер

вводилась в рабочую зону вакуумной камеры синхрофазотрона. Радиальное положение мишени в ускорителе могло устанавливаться с точностью  $\sim 1$  мм, интервал изменения радиальной координаты  $-\Delta R = 300$  мм. Наведение пучка ядер на мишень осуществлялось с помощью высокочастотной ускоряющей системы синхрофазотрона при постоянном магнитном поле в ускорителе /точность стабилизации поля  $\frac{\Delta H}{H} < 10^{-3}$ / . Время взаимодействия пучка с мишенью  $\sim 400$  мс. Фрагменты релятивистских ядер, образовавшиеся при взаимодействии первичного пучка с мишенью, проходят в магнитном поле ускорителя около 18 м и выводятся по каналу медленного вывода на установку "Аномалон" /4/. Таким образом, магнитное поле синхрофазотрона в этом эксперименте одновременно используется как прецизионный магнитный спектрометр для точного измерения у продуктов фрагментации ядра-снаряда величины  $p\cdot A/Z$  ( $p$  - импульс фрагмента в ГэВ/с·нукл.). Поскольку при фрагментации ядра-снаряда скорости /импульсы на нуклон/ фрагментов и налетающего ядра близки, магнитный спектрометр, по существу, разделяет фрагменты по изотопному составу /по величине  $A/Z$ /.

Аппаратура установки "Аномалон", использовавшаяся в этом опыте, в основном, осталась без изменений /рис.1/: пропорциональные камеры XUV позволяли определить траектории фрагментов, с помощью сцинтилляционных счетчиков S1:S4 формировался триггерный сигнал. Модернизации /для увеличения светимости опыта/ подвергся только черенковский спектрометр. Измерение заряда фрагментов производилось с помощью 18 черенковских счетчиков, расположенных в 3 ряда по 6 счетчиков в каждом ряду так, что перекрываемая счетчиками площадь составляла  $90 \times 120$   $\text{мм}^2$ . Средняя величина разрешения по заряду фрагментов в черенковском спектрометре была  $\sigma \sim 0,15$  е.

Первичная обработка результатов с помощью on-line программы позволяла измерять профиль пучка в процессе облучения с помощью пучковых пропорциональных камер, контролировать амплитудный спектр сигналов с каждого счетчика, суммировать сигналы с трех счетчиков.

Обработка экспериментальной информации, записанной на магнитные ленты, включала калибровку черенковских счетчиков и фильтрование зарядовых спектров. Для калибровки использовалась экспериментальная информация с "пролетными" ядрами без взаимодействий с веществом черенковского детектора. Работа по отбору таких событий предшествовала калибровке и заключалась в следующем: для каждого набора данных получены значения амплитуд всех черенковских счетчиков, соответствующие нулевому сигналу /пьедесталы/, и

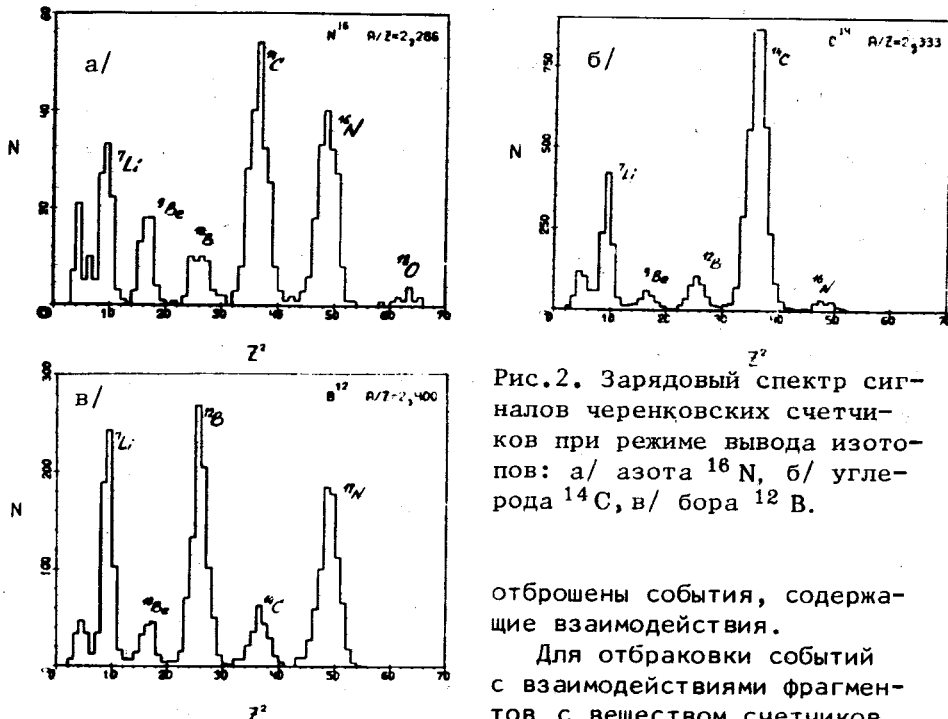


Рис.2. Зарядовый спектр сигналов черенковских счетчиков при режиме вывода изотопов: а/ азота  $^{16}\text{N}$ , б/ углерода  $^{14}\text{C}$ , в/ бора  $^{12}\text{B}$ .

отброшены события, содержащие взаимодействия.

Для отбраковки событий с взаимодействиями фрагментов с веществом счетчиков

2-мерные гистограммы амплитуд для

всех наборов данных при условии, что три последовательно расположенных черенковских счетчика зарегистрировали сигнал, превышающий нулевой уровень /пьедестал/. Гистограммировалась амплитуда последнего в тройке черенковского счетчика, как функция величины сигнала первого черенковского счетчика. Методом наименьших квадратов /МНК/ через эти гистограммы проводилась прямая  $Y = A + kx$ , и определялась дисперсия  $\sigma$ . Далее принималось, что события, лежащие выше уровня  $Y_1 = A - 3\sigma\sqrt{1 + k^2} + kx$ , который отстоит менее чем на три стандартные ошибки от проведенной МНК прямой, обуславливались "пролетными" фрагментами.

Процедура калибровки заключалась в переводе величины средней амплитуды сигналов ФЭУ, пропорциональной интенсивности черенковского света, в единицы квадрата заряда. Для каждого набора данных строились спектры амплитуд черенковских счетчиков. Центрам тяжести идентифицированных пиков ставились в соответствие квадраты заряда фрагментов, и проводилась линейная калибровка по двум точкам. После проведения калибровок получены спектры черенковских счетчиков в единицах квадрата заряда для каждого набора данных. Для определения полного потока  $Q_n$  фрагментов типа  $n$  спектры аппроксимировались функцией

$$F(Z^2) = B + \sum_{n=1}^N (Q_n \cdot e^{-\frac{(Z^2 - Z_n^2)^2}{2\sigma_n^2}}) / \sqrt{2\pi\sigma_n^2},$$

где параметры  $B$  - величина фона,  $Q_n$  - сумма фрагментов в пике,  $\sigma_n^2$  - дисперсия распределения по  $Z^2$  фрагментов типа  $n/Z_n^2$  фиксировались/.

### Результаты эксперимента

Формирование вторичных пучков различных нуклидов определяется выбором соответствующего режима работы ускорителя. На рис.2 приведены зарядовые спектры сигналов чиренковских счетчиков при режимах работы ускорителя, соответствующих выводу изотопов азота  $^{16}\text{N}$  /рис.2а/, углерода  $^{14}\text{C}$  /рис.2б/ и бора  $^{12}\text{B}$  /рис.2в/. Примесь в пучке, рассчитанном на определенный нуклид, его соседних изотопов оказывается незначительной. Это особенно хорошо видно на примере изотопов азота  $^{16}\text{N}$  /рис.2а/ и  $^{17}\text{N}$  /режим вывода  $^{17}\text{N}$  близок к режиму вывода  $^{16}\text{N}$ , рис.2в/. В промежуточном между ними режиме /рис.2б/, где могут выводиться "хвосты" в импульсных распределениях обоих изотопов, выход фрагментов азота мал /рис.3/.

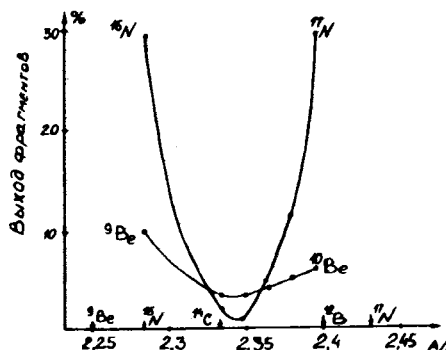


Рис.3. Выход изотопов берилля и азота при различных режимах работы ускорителя /в процентах по отношению к сумме всех фрагментов с  $Z \geq 3$ .

Характерной особенностью всех пучков является заметная /до 25%/ примесь легких ядер лития и берилля, связанная, как будет видно ниже, с относительно большим разбросом импульсов, приобретаемых ими в процессе фрагментации. Поэтому изотопы берилля разделяются магнитной оптикой хуже изотопов азота /рис.3/, несмотря на то, что режимы вывода изотопов  $^9\text{Be}$  и  $^{10}\text{Be}$  по величине  $A/Z$  разнесены в 1,75 раза больше, чем для изотопов азота  $^{16}\text{N}$  и  $^{17}\text{N}$ . Большой вклад изотопа  $^{14}\text{C}$  объясняется относительно большим сечением его образования.

Состав пучков в трех различных режимах работы ускорителя приведен в таблице.

Таблица

Нуклидный состав /в процентах/ вторичных пучков в режиме вывода ядер  $^{16}\text{N}$ ,  $^{14}\text{C}$ ,  $^{12}\text{B}$

Режим вывода	$^7\text{Li}$	$^9\text{Be} + ^{10}\text{Be}$	$^{12}\text{B}$	$^{14}\text{C}$	$^{16}\text{N}$	$^{17}\text{N}$	$^{18}\text{O}$
$^{16}\text{N}$ ( $A/Z = 2, 286$ )	16,2	9,8	6,6	35,6	29,6	-	2,2
$^{14}\text{C}$ ( $A/Z = 2, 333$ )	18,4	3,4	6,8	69,5	1,9	-	0,1
$^{12}\text{B}$ ( $A/Z = 2, 400$ )	23,2	5,8	33,3	8,2	-	29,5	-

На внешнюю сторону синхрофазотрона могут быть выведены только нейтронизбыточные фрагменты. В данном эксперименте мишень была расположена на оси окна № 20, возможно также размещение мишени в окнах № 18 и № 22. При этом диапазон величин  $A/z$  для фрагментов, выводимых в канал, может изменяться от 2,09 ( $^{23}\text{Na}$ ) до 3 ( $^3\text{H}$ ,  $^6\text{He}$ ,  $^9\text{Li}$ ,  $^{12}\text{Be}$ ,  $^{15}\text{B}$ ,  $^{18}\text{C}$  и пр.).

Характерная величина захвата фрагмента в канал медленного вывода — порядка  $10^{-2}$ , парциальное сечение образования нуклида  $^{14}\text{C}$   $\sim 5 \cdot 10^{-3}$  от полного, ожидаемый в канале медленного вывода поток фрагментов  $^{14}\text{C}$  составляет  $5 \cdot 10^{-5}$  от интенсивности внутреннего пучка ускорителя (ядра  $^{19}\text{F}$ ), что оказалось близко к эксперименту.

Оценка сечения перезарядки  $^{19}\text{F} \rightarrow ^{19}\text{O}$  и верхней границы для выхода ядер с дробным зарядом  $Z = 7,7$  сделана на основании данных, представленных на рис. 4а /результаты экспозиции мишени в режиме вывода  $^{19}\text{O}$ , где  $A/Z = 2,375$ / и на рис. 4б /результаты экспозиции в режиме, соответствующем величине  $A/Z = 2,378$ /. Оценка сечений может быть сделана двумя способами: из сравнения выхода искомых ядер с потоками изотопов  $^{12}\text{B}$  или  $^{14}\text{C}$  /сечения образования последних известны<sup>5,6</sup>/ или прямым расчетом, поскольку интенсивность прошедших через мишень ядер  $^{19}\text{F}$  и светосила установки известны. В предположении, что импульсные и угловые характеристики искомых ядер и ядер  $^{12}\text{B}$  и  $^{14}\text{C}$  близки, получены значения сечения перезарядки

$$\sigma (^{19}\text{F} \rightarrow ^{19}\text{O}) \approx 3 \cdot 10^{-29} \text{ см}^2$$

и верхней границы сечения образования ядер с зарядом  $Z = 7,7$  и  $A \sim 18,3$ :  $\sigma < 3 \cdot 10^{-31} \text{ см}^2$ .

Импульсное распределение фрагментов ядер  $^{12}\text{C}$  и  $^{16}\text{O}$ , ускоренных до энергии 2,1 ГэВ/нукл., изучалось в работе<sup>7</sup>. Экспериментальные результаты данной работы /рис. 5/

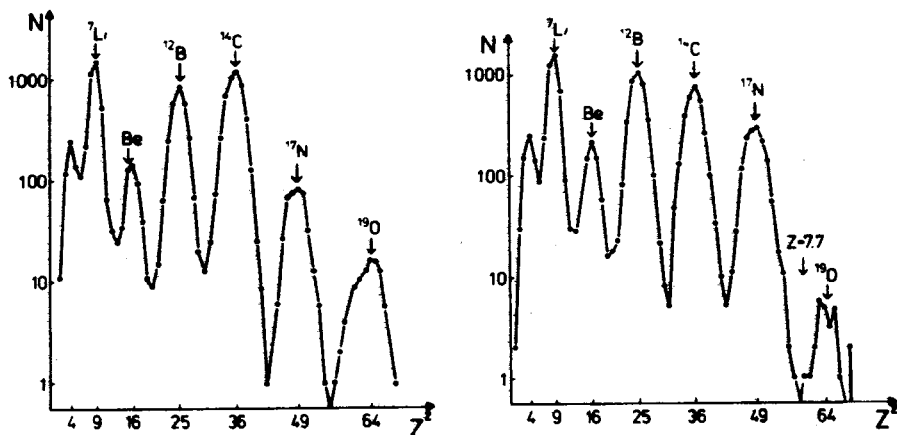


Рис.4. Зарядовый спектр сигналов черенковских счетчиков при режиме вывода: а/ изотопа  $^{19}\text{O}$ , б/ ядер с  $A/Z = 18 \cdot 3/7,7 = 2,378$ .

позволяют получить информацию о параметрах импульсного распределения нуклидов  $^{14}\text{C}$  и  $^{19}\text{O}$ , образованных при взаимодействии с мишенью ядер  $^{19}\text{F}$  с импульсом ~ 4 ГэВ/с·нукл. В обоих опытах изучаются фрагменты, вылетающие в узком конусе углов в направлении падающего ядра /в нашем случае раствор этого конуса ~ 1 мрад, вклад аппаратурного разрешения в импульсное распределение фрагментов ~  $3 \cdot 10^{-3}$ , точность измерения среднего импульса фрагментов  $\frac{\Delta p}{p} = 10^{-3}$ .

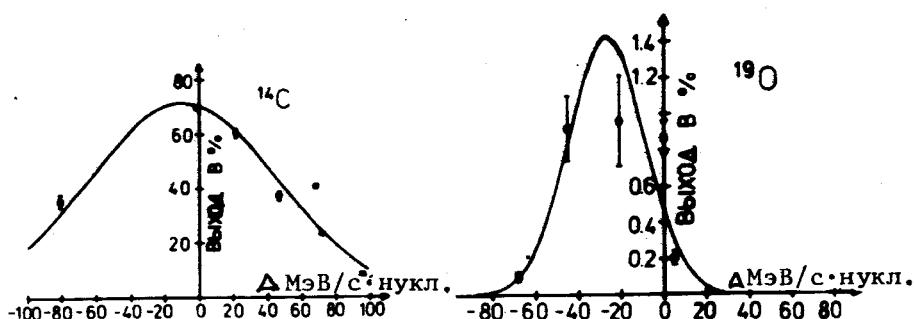


Рис.5. Распределение нуклидов  $^{19}\text{O}$  и  $^{14}\text{C}$  по переданному на нуклон импульсу.

Как и при меньших энергиях<sup>[7]</sup>, ширина импульсного распределения в системе координат падающего ядра нуклида, образованного в реакции перезарядки,  $\sigma_p(^{19}\text{O}) = (49 \pm 9)$  МэВ/с, меньше, чем соответствующая ширина продукта фрагментации

$^{14}\text{C} - \sigma(^{14}\text{C}) = (185 \pm 20) \text{ МэВ/с.с}$  другой стороны, сдвиг среднего значения импульсного распределения относительно нулевого импульса в системе, связанной с падающим ядром, для  $^{19}\text{O}$  больше, чем для фрагментов  $^{14}\text{C}$ ,  $(-127 \pm 15) \text{ МэВ/с}$  и  $(-32 \pm 14) \text{ МэВ/с}$ . Ширина импульсного распределения фрагментов углерода  $\sigma = 185 \text{ МэВ/с}$  превосходит найденную в<sup>7</sup>. Однако следует учесть, что в данном опыте углерод получается из ядра-снаряда фтора /в работе<sup>7</sup>/ - из  $^{18}\text{O}$ , и увеличение числа взаимодействующих нуклонов ядра-снаряда, по-видимому, приводит к возрастанию импульсного разброса фрагментов.

А.М.Балдин<sup>8/</sup> показал, что процесс фрагментации ядер достаточно хорошо описывается полюсным приближением

$$\frac{d\sigma}{b_{11}} = \frac{F}{(b_{11} + a_{11})^2},$$

где  $b_{11}$  - квадрат разности четырехмерных скоростей ядра и фрагмента, а величина, определяющая ширину импульсного распределения фрагментов,  $a_{11} = 2\epsilon_{11}(m_1 - m_1)/m_1 m_1$  ( $\epsilon_{11}$  - энергия связи фрагмента 1 в ядре I,  $m_1$  и  $m_1$  - массы этих ядер). Из чисто полюсного приближения следует, что максимум распределения фрагментов находится в точке  $b_{11} \approx 0$ ,

$$\text{или } \Delta = \frac{p_1^L}{m_1} - \frac{p_1}{m_1} = 0, \text{ где } p_1^L \text{ - продольный импульс фраг-}$$

мента. Отклонение среднего значения  $\Delta$  от нуля в рамках работы<sup>8/</sup> может быть объяснено интерференцией полюсной амплитуды с другими.

Имеются и другие модели, феноменологически описывающие процесс фрагментации ядер при высоких энергиях<sup>9,10/</sup>.

### Заключение

Изучение вторичных ядер, образованных на внутренней мишени синхрофазотрона и выводимых по каналу медленного вывода, позволило определить зарядовый состав и интенсивность пучков вторичных ядер: в режиме вывода фрагмента  $\text{C}^{14}$  его парциальная интенсивность составляет 70%, выход в канал ядер  $\text{C}^{14}$  на одно первичное ядро  $^{19}\text{F}$  составляет  $3 \cdot 10^{-5}$ . Сделана оценка сечения перезарядки ядра фтора в кислород:  $\sigma(^{19}\text{F} \rightarrow ^{19}\text{O}) = 3 \cdot 10^{-29} \text{ см}^2$ . Ядер с дробным зарядом не найдено на уровне  $3 \cdot 10^{-31} \text{ см}^2$ . Характеристики импульсных распределений фрагментов при импульсе 4 ГэВ/с·нукл. близки к измеренным в Беркли при энергии 2 ГэВ/нукл.

Авторы выражают искреннюю признательность А.М.Балдину за обсуждение результатов работы, В.И.Волкову, В.П.Заболотину, А.С.Исаеву, В.А.Мончинскому, С.А.Новикову, В.Н.Перфеееву, С.В.Федукову, Д.И.Шерстянову и всему персоналу отдела синхрофазотрона ЛВЭ за обеспечение стабильной работы ускорителя.

### Литература

1. Taninata I. et al. In: Proceeding of the II Intern. Conf. on Nucleus-Nucleus Collisions, Visby, Sweden, 10-14, June, 1985, v.1, p.32.
2. Taninata I. et al., ibid., p.33.
3. Василишин Б.В., Доля С.Н. ОИЯИ, Р9-85-283, Дубна, 1985.
4. Вереш И. и др. В сб.: Краткие сообщения ОИЯИ, № 4-84, Дубна, 1984, с.10.
5. Heckman M.N. Phys.Rev.Lett., 1972, v.28, №.14, p.926.
6. Olson D.L. et al. Phys.Rev.C., 1983, v.28, №.4, p.1602.
7. Greiner D.E. et al. Phys.Rev.Lett., 1975, v.35, №.3, p.152.
8. Балдин А.М. ДАН СССР, 1975, т.222, № 5, с.1064.
9. Masuda N., Uchiyama F. Phys.Rev.C., 1977, v.15, №.3, p.972.
10. Бондаренко Р.А. и др. ЯФ., 1983, т.38, вып.6 /12/, с.1483.

Рукопись поступила 24 февраля 1986 года.